



Quoi de neuf dans les pathologies osseuses ?

SRO Saint-Brieuc septembre 2021

Béatrice BOUVARD







Refracture and mortality following hospitalization for severe osteoporotic fractures: The Fractos Study

Christian Roux, ¹ Thierry Thomas, ² Julien Paccou, ³ © Geoffray Bizouard, ⁴ Anne Crochard, ⁵ Emese Toth, ⁵ Magali Lemaitre, ⁴ Frédérique Maurel, ⁴ Laure Perrin, ⁵ and Florence Tubach ⁶

Étude FRACTOS: Patients ≥ 50 ans hospitalisés pour fracture ostéoporotique sévère entre 01/2009 et 12/2014 (hanche, humérus proximal, bassin, vertèbre lombaire et thoracique, fractures costales multiples) Données du régime général de l'assurance maladie

347784 patients avec au moins un jour de suivi après la fracture (dont 87941 hommes) Suivi médian 39,1 mois

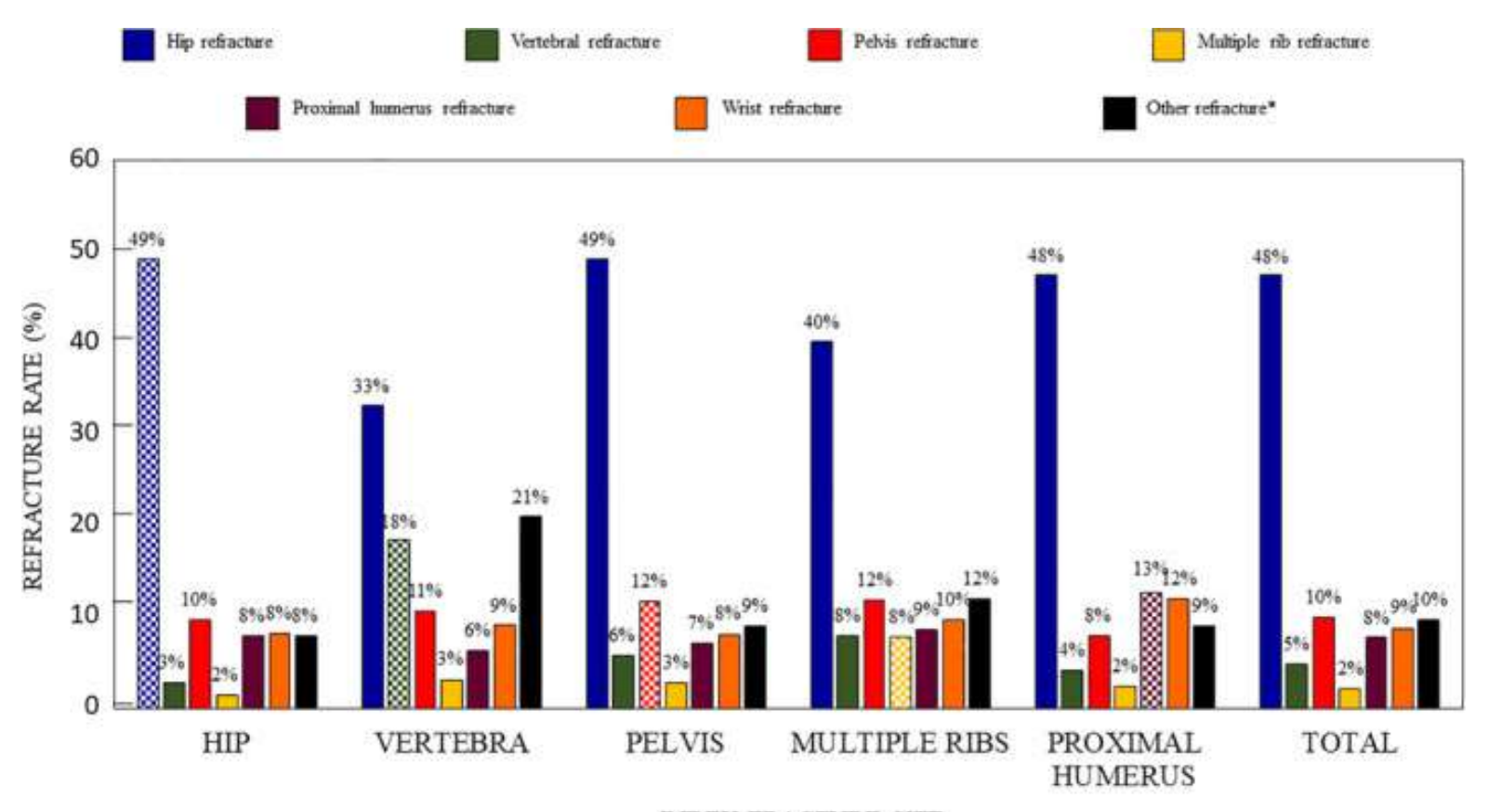
Characteristic	Hip	Vertebra	Pelvis	Multiple ribs	Proximal humerus	Total
Patients (% of total), n (%)	215,672 (60.4)	32,231 (9.0)	38,620 (10.8)	17,450 (4.9)	52,922 (14.8)	356,895 (100)
Fracture within 3 previous years, n (%)	9286 (4.3)	838 (2.6)	1725 (19.5)	448 (2.6)	1912 (3.4)	14,209 (4.0)
Age (years)						
Mean \pm SD	81.8 ± 10.6	70.5 ± 12.4	79.5 ± 11.8	71.9 ± 13.3	$\textbf{73.8} \pm \textbf{12.1}$	78.8 ± 12.0
≤65 years, <i>n</i> (%)	20,623 (9.6)	12,042	5,779 (15.0)	6255 (35.8)	14,309	59,008 (16.5)
		(37.4)			(27.0)	
65–80 years, n (%)	47,470 (22.0)	10,859	9,243 (23.9)	4973 (28.5)	18,244	90,789 (25.4)
		(33.7)			(34.5)	
>80 years, n (%)	147,579	9,330 (28.9)	23,598	6222 (35.7)	20,369	207,098
	(68 4)		(61.1)		(38.5)	(58.0)
Gender, n (% women)	167,431	19,221(59.6)	29,767	7626 (43.7)	41,713	265,758
	(77.6)		(77.1)		(78.8)	(74.5)

Follow-up population	Hip (n = 208,102)	Vertebra (n = 31,979)	Pelvis (n = 38,051)	Multiple ribs $(n = 17,184)$	Proximal humerus $(n = 52,468)$	Total (n = 347,784)
Before index fracture, n (%)						
At least one delivery	32,930 (15.8)	6125 (19.2)	9270 (24.4)	2200 (12.8)	8761 (16.7)	59,286 (17.0)
At time of index	15,273 (7.3)	3390 (10.6)	5056 (13.3)	1203 (7.0)	4450 (8.5)	29,372 (8.4)
fracture						
During 12 months after						
index fracture, n (%)						
At least one delivery	31,385 (15.1)	8250 (25.8)	8683 (22.8)	1775 (10.3)	8127 (15.5)	58,220, (16.7)
Treatment continued ^a	15,273 (7.3)	3390 (10.6)	5056 (13.3)	1203 (7.0)	4450 (8.5)	29,372 (8.4)
Treatment restarted ^b	4048 (1.9)	1112 (3.5)	1166 (3.1)	196 (1.1)	1098 (2.1)	7620 (2.2)
Treatment initiated ^c	12,064 (5.8)	3748 (11.7)	2461 (6.5)	376 (2.2)	2579 (4.9)	21,228 (6.1)

During 12 mo after index f	fracture					
At least one delivery	31,385 (15.1%)	8,250 (25.8%)	8,683 (22.8%)	1,775 (10.3%)	8,127 (15.5%)	58,220, (16.7%)
Men	2 020 (4.4%)	1 060 (8.2%)	428 (5.0%)	244 (2.5%)	318 (2.9%)	4 080 (4.6%)
Women	29 365 (18.1%)	7 190 (37.6%)	8 255 (28.1%)	1 531 (20.4%)	6 572 (15.9%)	54 140 (20.8%)

Après hospitalisation pour fracture ostéoporotique sévère en France **4,6%** des hommes ≥ 50 ans et **20,8 %** des femmes reçoivent un traitement spécifique dans l'année qui suit

			Site of index fr	acture		
Parameter	Hip (n = 208,102)	Vertebra (n = 31,979)	Pelvis (n = 38,051)	Multiple ribs $(n = 17,184)$	Proximal humerus $(n = 52,468)$	Total (n = 347,784)
Refracture (n)	34,039	4372	7440	1948	8032	55,831
Refracture rate at	6.6 (6.5-6.7)	5.5 (5.3-5.8)	7.8 (7.5–8.1)	4.0 (3.7-4.3)	5.1 (4.9-5.3)	6.3 6.2-6.3)
12 months, % (95% CI)						2 (25)
Refracture rate at	11.7 (11.6-	9.0 (8.8-9.3)	13.3 (12.9-	7.1 (6.7–7.5)	9.0 (8.8-9.3)	10.9 (10.8-
24 months, % (95% CI)	11.9)		12.7)			11.1)
Refracture rate at	16.1 (15.9-	11.6 (11.2-	18.0 (17.6-	9.6 (9.1–10.0)	12.5 (12.2-12.8)	14.9 (14.7-
36 months, % (95% CI)	16.3)	11.9)	18.4)			15.0)
Time from index fracture to refracture (months) ^a						
Mean \pm SD	23.7 ± 19.6	23.0 ± 20.1	23.0 ± 19.5	24.8 ± 20.1	26.1 ± 20.6	24.0 ± 19.8
Median [IQR]	18.7 [8–35]	17.4 [6–35]	18.0 [7–34]	20.0 [8–37]	21.5 [9–39]	19.0 [8–36]



INDEX FRACTURE SITE

_		G*:				_
		Site o	of index fracture			
	Hip	Vertebra	Pelvis	Multiple ribs	Proximal humerus	Total
	N = 208,102	N = 31,979	N = 38,051	N = 17,184	N = 52,468	N = 347,784
Deaths (N)	101,533	5,798	13,902	4,378	12,675	138,286
Mortality at 12 mo (%)	16.6 [16.4 – 16.7]	5.0 [4.7 – 5.2]	10.5 [10.2 – 10.8]	6.6 [6.2 – 6.9]	6.5 [6.3 – 6.7]	12.8 [2.7 – 12.9]
Men	21.2 20.8 – 21.6]	5.3[5.0-5.8]	11.0 [10.4 – 11.7]	5.3 [4.9 – 5.8]	8.1 [7.6 – 8.6]	14.4 [14.2 – 14.6]
Women	15.3 [15.1 – 15.4]	4.7 [4.4 – 5.0]	$10.3 \; [10.0 - 10.7]$	8.1 [7.5 - 8.8]	6.0[5.8-6.3]	12.2 [12.1 – 12.4]
SMR [95%CI]	2.32[2.29-2.34]	1.69 [1.61 – 1.78]	1.80 [1.74 – 1.86]	1.66 [1.56 – 1.76]	1.78 [1.72 – 1.84]	2.16 [2.14 – 2.18]
Men	3.01 [2.95 – 3.07]	1.95 [1.80 – 2.10]	2.36[2.21-2.52]	1.73 [1.58 – 1.88]	2.57[2.40 - 2.74]	2.75[2.71-2.80]
Women	2.13 [2.10 – 2.16]	1.54 [1.44 – 1.64]	1.67 [1.62 – 1.74]	1.61 [1.48 – 1.74]	1.60 [1.54 – 1.67]	1.99 [1.97 – 2.01]

Site of index fracture								
	Hip	Vertebra	Pelvis	Multiple ribs	Proximal humerus	Total		
	N = 208,102	N = 31,979	N = 38,051	N = 17,184	N = 52,468	N = 347,784		
Deaths (N)	101,533	5,798	13,902	4,378	12,675	138,286		
Mortality at 12 mo (%)	16.6 [16.4 – 16.7]	5.0 [4.7 – 5.2]	10.5 [10.2 – 10.8]	6.6 [6.2 – 6.9]	6.5 [6.3 – 6.7]	12.8 12.7 – 12.9]		
Men	21.2 20.8 – 21.6]	5.3[5.0-5.8]	11.0 [10.4 – 11.7]	5.3 [4.9 – 5.8]	8.1 [7.6 - 8.6]	14.4 [14.2 – 14.6]		
Women	15.3 [15.1 – 15.4]	4.7 [4.4 – 5.0]	10.3 [10.0 – 10.7]	8.1 [7.5 - 8.8]	6.0[5.8-6.3]	12.2 [12.1 – 12.4]		
Mortality at 24 mo (%)	25.3[25.2-25.5]	8.5 [8.2 - 8.8]	17.7 [17.3 – 18.1	11.7 [11.2 – 12.2]	11.0 [10.7 – 11.3]	20.1 [20.0 - 20.2]		
Men	30.5 [30.1 – 30.9]	8.6[8.1-9.1]	17.0 [16.2 – 17.9]	9.8 [9.2 - 10.4]	13.4 [12.7 – 14.0]	21.4 [21.2 – 21.7]		
Women	23.9 [23.7 – 24.1]	8.5[8.1 - 8.9]	17.9 [17.4 – 18.3]	14.1 [13.3 – 14.9]	10.4 [10.1 - 10.7]	19.6 [19.5 – 19.8]		
Mortality at 36 mo (%)	33.9 [33.7 – 34.1]	12.0 [11.6 – 12.3]	25.0 [24.6 – 25.5]	16.5 [16.0 – 17.1]	15.6 [15.3 – 16.0]	27.3 [27.1 – 27.4]		
Men	38.9 [38.4 – 39.4]	11.6 [11.1 – 12.2]	22.6 [21.7 – 23.6]	13.4 [12.8 – 14.2]	18.1 [17.4 – 18.9]	27.8 [27.5 – 28.1]		
Women	32.5 [32.3 – 32.8]	12.2 [11.7 – 12.7]	22.7 [21.8 – 23.6]	20.4 [19.5 – 21.4]	15.0 [14.6 – 15.3]	27.1 [26.9 – 27.3]		
SMR [95%CI]	2.32 [2.29 – 2.34]	1.69 [1.61 – 1.78]	1.80 [1.74 – 1.86]	1.66 [1.56 – 1.76]	1.78 [1.72 – 1.84]	2.16 [2.14 – 2.18]		
Men	3.01 2.95 - 3.07	1.95 [1.80 – 2.10]	2.36 [2.21 – 2.52]	1.73 [1.58 – 1.88]	2.57 [2.40 – 2.74]	2.75 [2.71 – 2.80]		
Women	2.13 [2.10 – 2.16]	1.54 [1.44 – 1.64]	1.67 [1.62 – 1.74]	1.61 [1.48 – 1.74]	1.60 [1.54 – 1.67]	1.99 [1.97 – 2.01]		

>90		 				A 57	6 [5.62 -	5 001
≥80 years		_					0 [5.02 - 9 [2.03 -	
65 – 79 years		•				2.0	9 [2.03 -	- 2.14]
Male gender		•				1.5	2 [1.50 -	-1.54]
Fracture site (ref: vertebra)								
Hip		•				1.8	2 [1.77 -	-1.86]
Pelvis		•				1.4	6 [1.41 -	-1.50]
Proximal humerus		•					1 [1.17 -	
Multiple ribs		•				1.2	0 [1.17 -	-1.24]
No prior treatment (2 years)		•				1.2	4 [1.22 -	-1.26]
Prior fracture (3 years)		•				1.2	1 [1.18 -	-1.23]
Refracture (ref: none)								
Hip fracture		•				1.7	4 [1.71 -	-1.77]
Other fracture site		•				1.3	2 [1.29 -	-1.34]
Corticosteroid use		•				1.3	8 [1.35 -	-1.42]
Comorbidities		!						
Cancer		!	•			3.1	5 [3.09 -	-3.21]
Liver disease			•			2.5	4 [2.40 -	-2.68]
Stroke or hemiplegia		•				1.9	8 [1.95 -	- 2.02]
MSKI		•				1.7	6 [1.71 -	- 1.82]
Parkinson's disease		•				1.7	5 [1.67 -	- 1.84]
Dementia		•				1.6	6 [1.64 -	- 1.69]
Chronic lung disease		•					5 [1.23 -	
Cardiovascular disease		•					0 [1.18 -	
Peptic ulcer disease		•					3 [1.04 -	
Diabetes		•				1.0	8 [1.07 -	- 1.10]
	<u></u>	1 2		-	Ļ	Ť	<u> </u>	
	0	1 2	5	4	3	0	1	8



Prediction of an Imminent Fracture After an Index Fracture – Models Derived From the Frisbee Cohort

Laura Iconaru, Dalexia Charles, Felicia Baleanu, Dalemanu, Murielle Surquin, Florence Benoit, Aude Mugisha, Michel Moreau, Mairanne Paesmans, Rafix Karmali, Michel Rubinstein, Serge Rozenberg, Jean-Jacques Body, and Pierre Bergmann, Michel Rubinstein, Serge Rozenberg, and Pierre Bergmann, Michel Rubinstein, Serge Rozenberg, Michel Rubinstein, Serge Rozenberg, Michel Rubinstein, Serge Rozenberg, Michel Rubinstein, Serge Rozenberg, Michel Rubinstein, Michel Rubinstein, Serge Rozenberg, Michel Rubinstein, Michel Rubinstein, Michel Rubinstein, Michel Rubinstein, Serge Rozenberg, Michel Rubinstein, M

Cohorte prospective belge (The Fracture Risk Brussels Epidemiological Enquiry (FRISBEE))

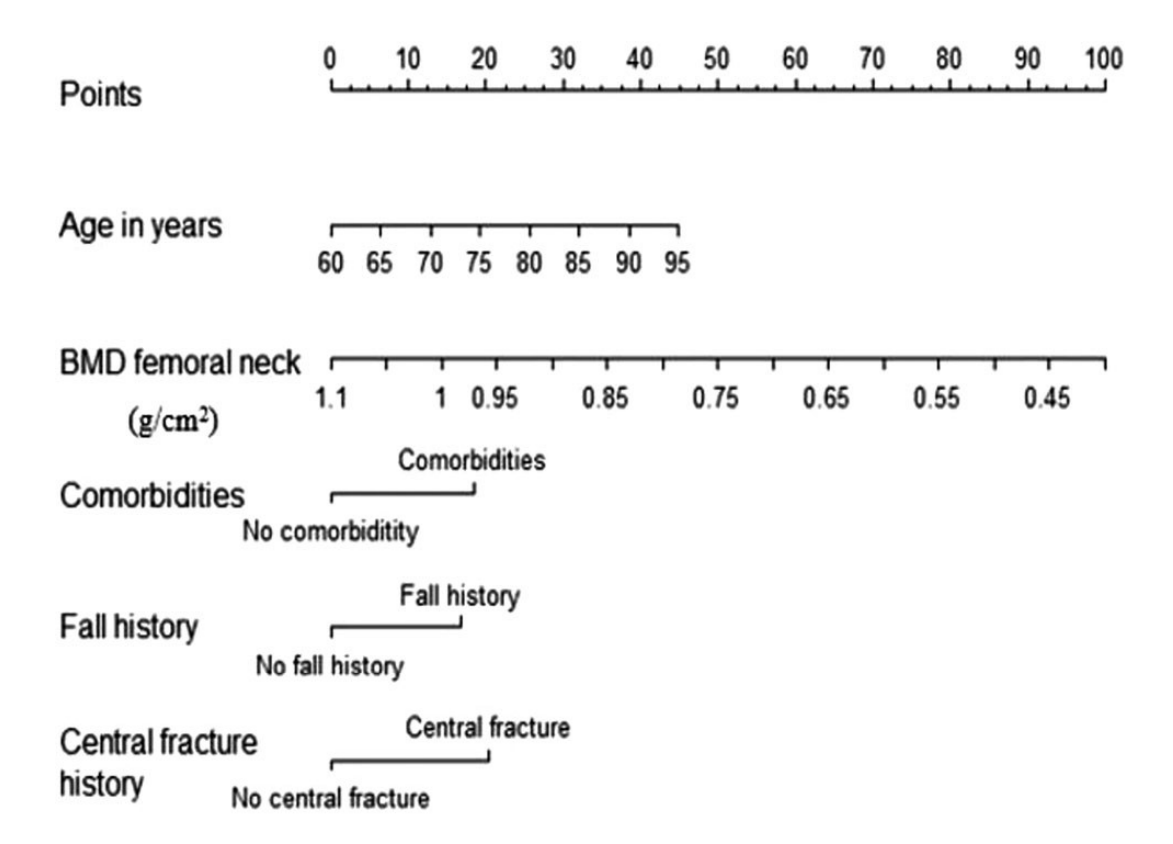
3560 femmes ménopausées

Suivi médian: 6,8 ans (0,4-12,3 ans)

831 1^{ère} fractures (76,5 ans)

130 fractures à court terme (dans les 2 ans) dont 79 fractures majeures et 88 fractures centrales

44 décès



Total-points-to-outcome nomogram :

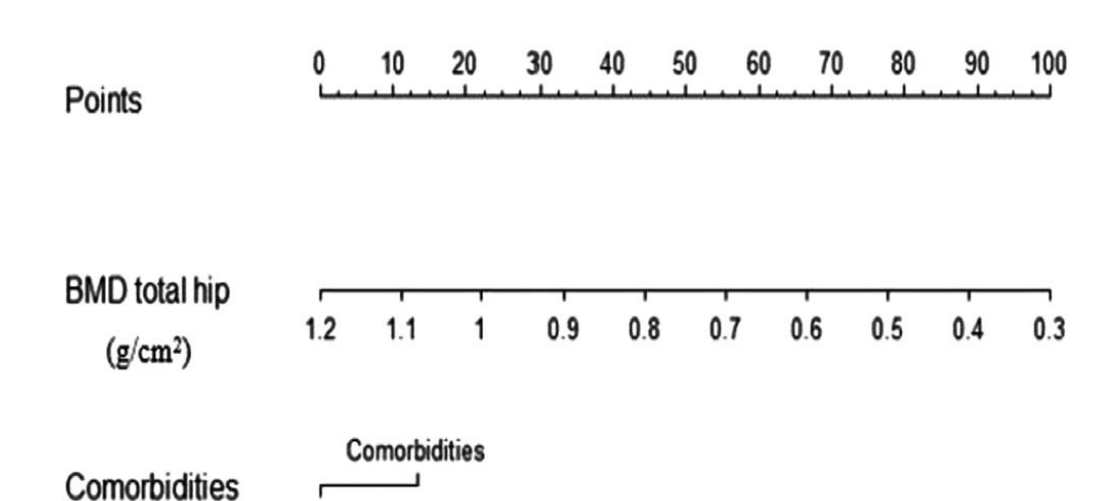
Total points 80 100 120 140

2-year incidence risk 0.05 0.15 0.25

Nomogramme

Risque de fracture à court terme Fractures « centrales » Vertèbre, bassin, hanche, humérus proximal, scapula, clavicule, sternum, côte

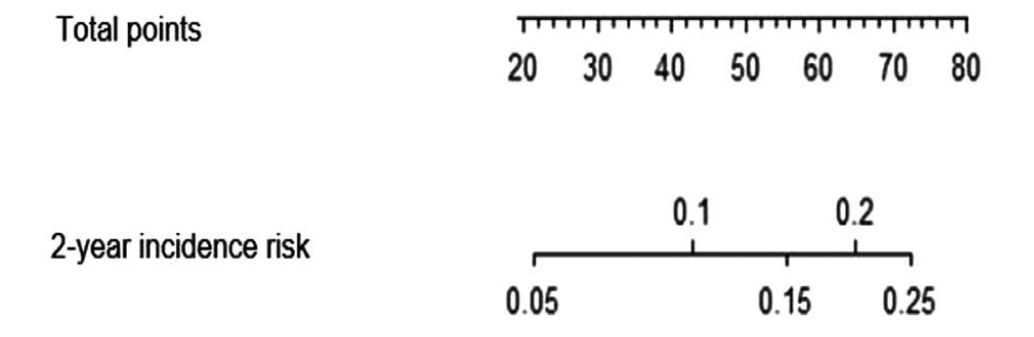
Iconaru L et al. J Bone Miner Res 2021



Fall history
No fall history

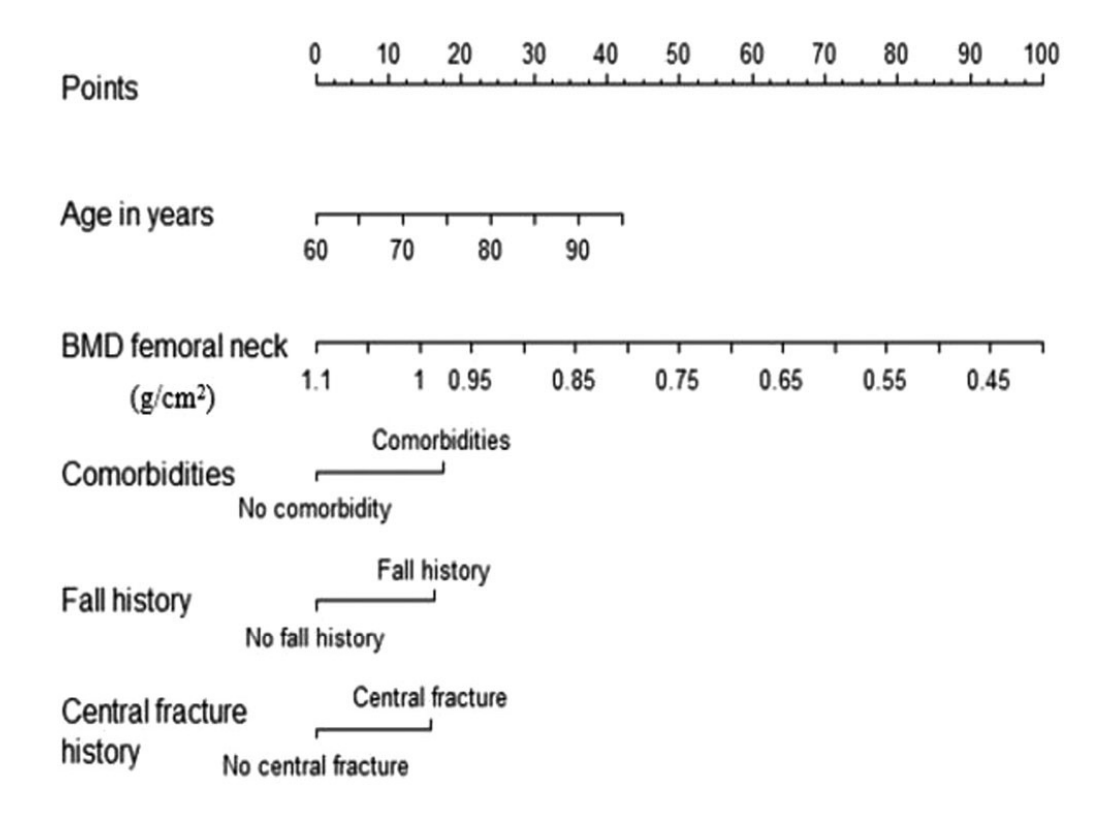
No comorbidity

Total-points-to-outcome nomogram:



Nomogramme

Risque de fracture à court terme Toutes les fractures



Total-points-to-outcome nomogram :



Nomogramme

Risque de fracture à court terme Fractures majeures

ORIGINAL ARTICLE



Fractures After Denosumab Discontinuation: A Retrospective Study of 797 Cases

Peter Burckhardt, De Mohamed Faouzi, De Thierry Buclin, De and Olivier Lamy, De and the Swiss Denosumab Study Group

Étude rétrospective suisse

Critères d'inclusion:

- (i) femmes ménopausées avec ostéoporose ou femmes avec cancer du sein sans métastase traitée par inhibiteurs de l'aromatase
- (ii) qui ont reçu au moins 2 injections de denosumab
- (iii) qui ont arrêté le denosumab avec au moins une année de suivi après

Critères d'exclusion : corticostéroïdes >3 mois, cancer avec métastases, données insuffisantes

Questionnaire divisé en 3 parties couvrant 3 périodes : 1) avant la première injection Dmab, 2) durant le traitement par Dmab se terminant 6 mois après la dernière injection 3) démarre 6 mois après la dernière injection et se termine 30 mois après la dernière injection Dmab

Données : fractures, DMO, marqueurs du remodelage osseux (normes hautes des femmes non MP)

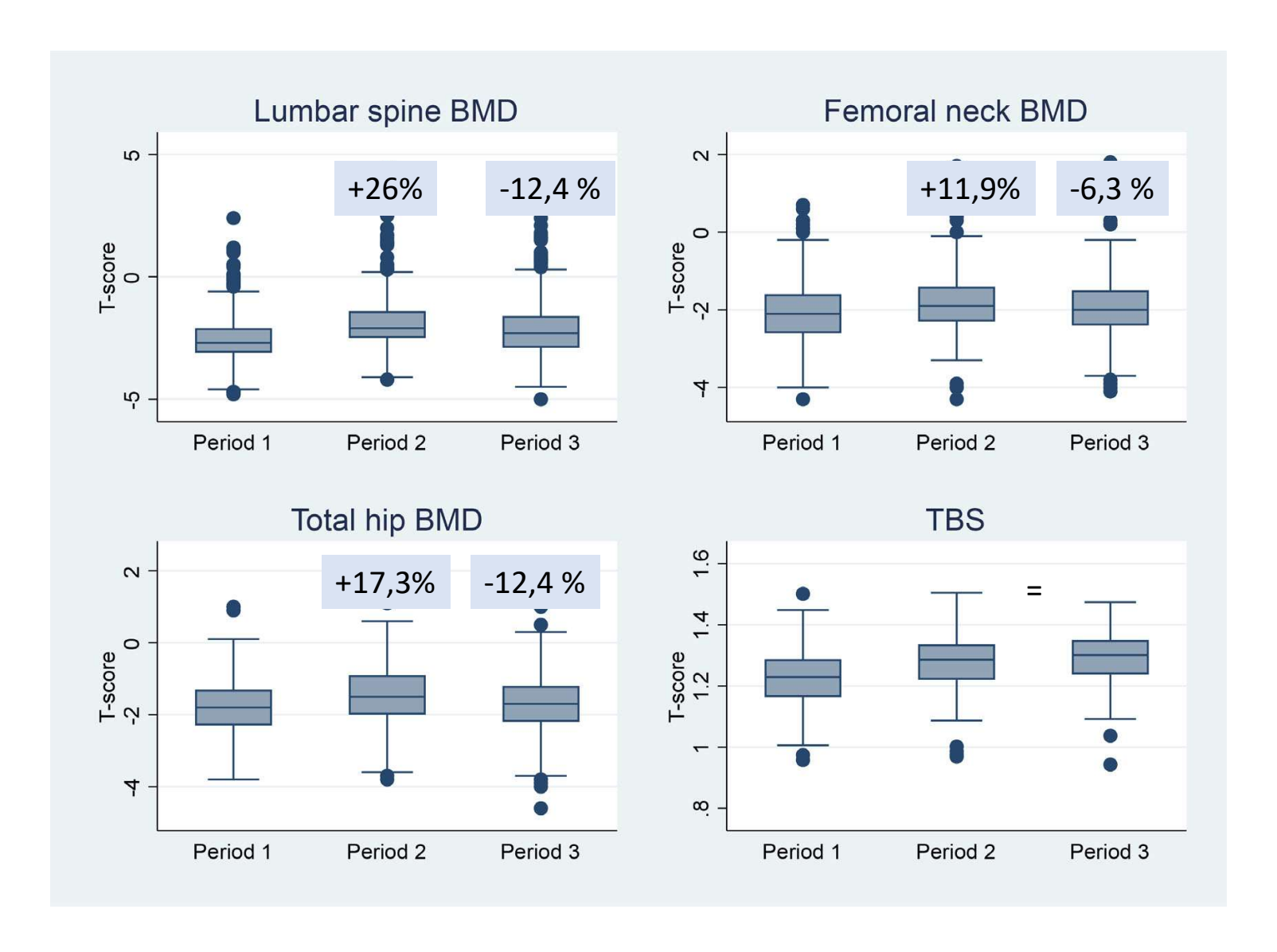
797 femmes ont été incluses âge moyen : 65,3 ans poids moyen 60,2 kg IMC moyen 23,1 kg/m² 134 avait un cancer du sein

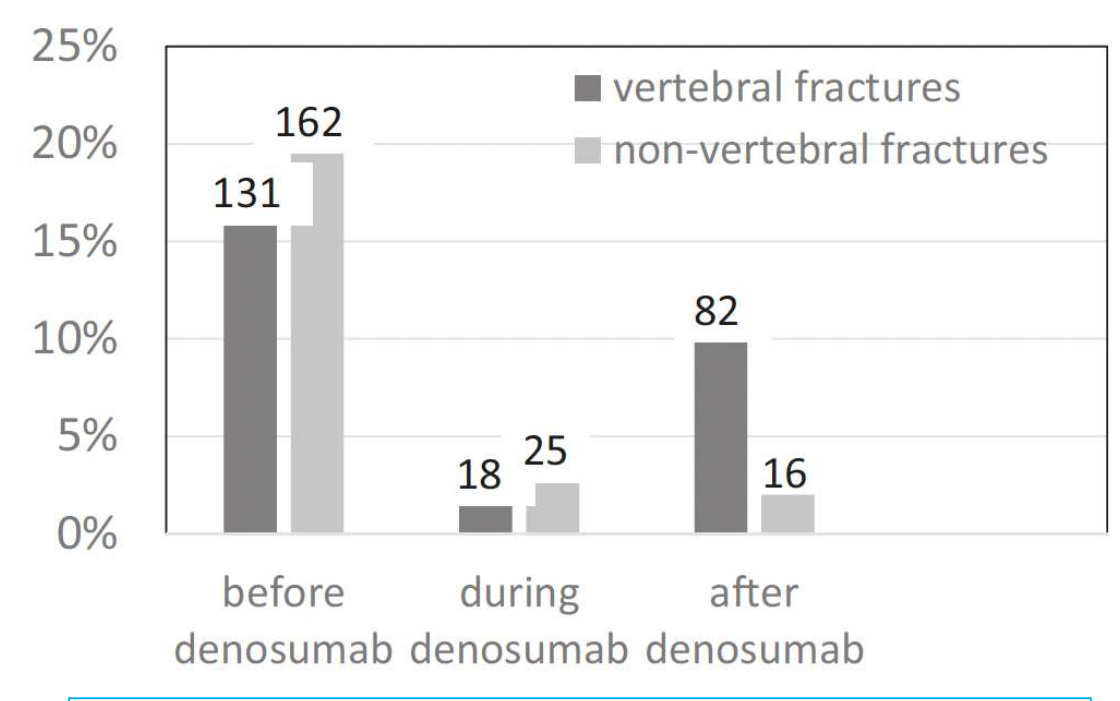
Nb moyen d'injections: 5,9

durée moyenne de traitement : 35 mois

moyenne de suivi après arrêt du Dmab : 27,5 mois 47,55% ont eu des BPs avant Dmab et 63,1% après Dmab

La raison la plus fréquemment invoquée pour arrêter le traitement : augmentation suffisante de DMO (31,9 %)



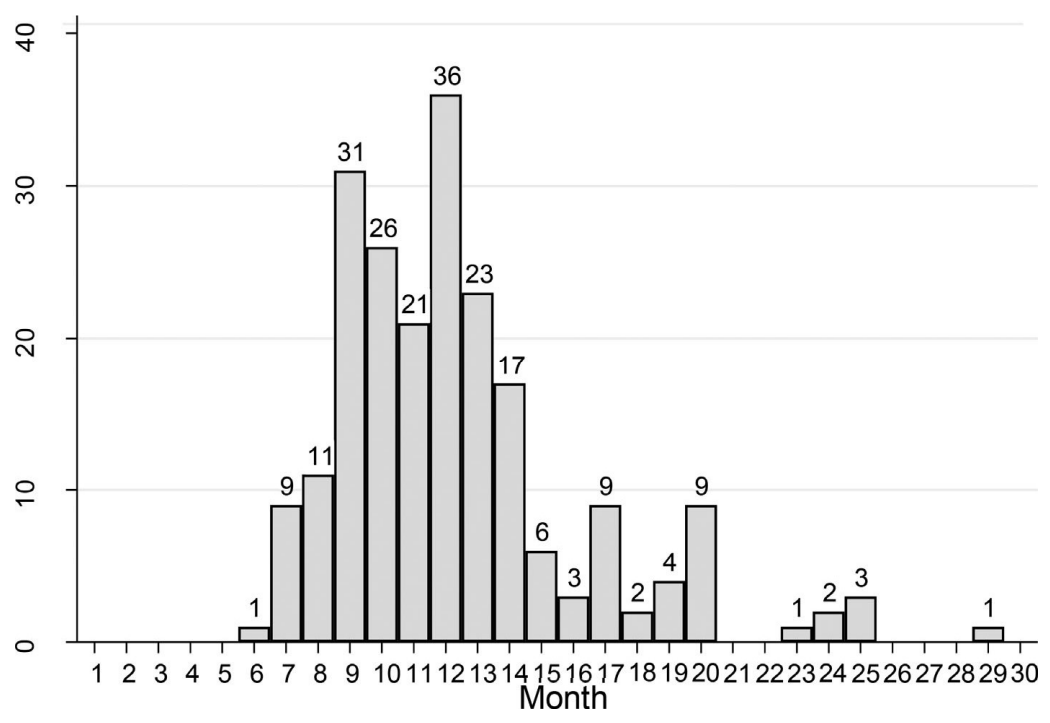


Incidence FV

- 16,4% avant
- 2,2% pendant
- 10,3% après (entre 6 et 30 mois après la dernière injection ; 4,1%/an : 2,6 FV/patient ; L1,T12)

Incidence FNV

- 20,3% avant
- 3,1% pendant
- 2,0% après



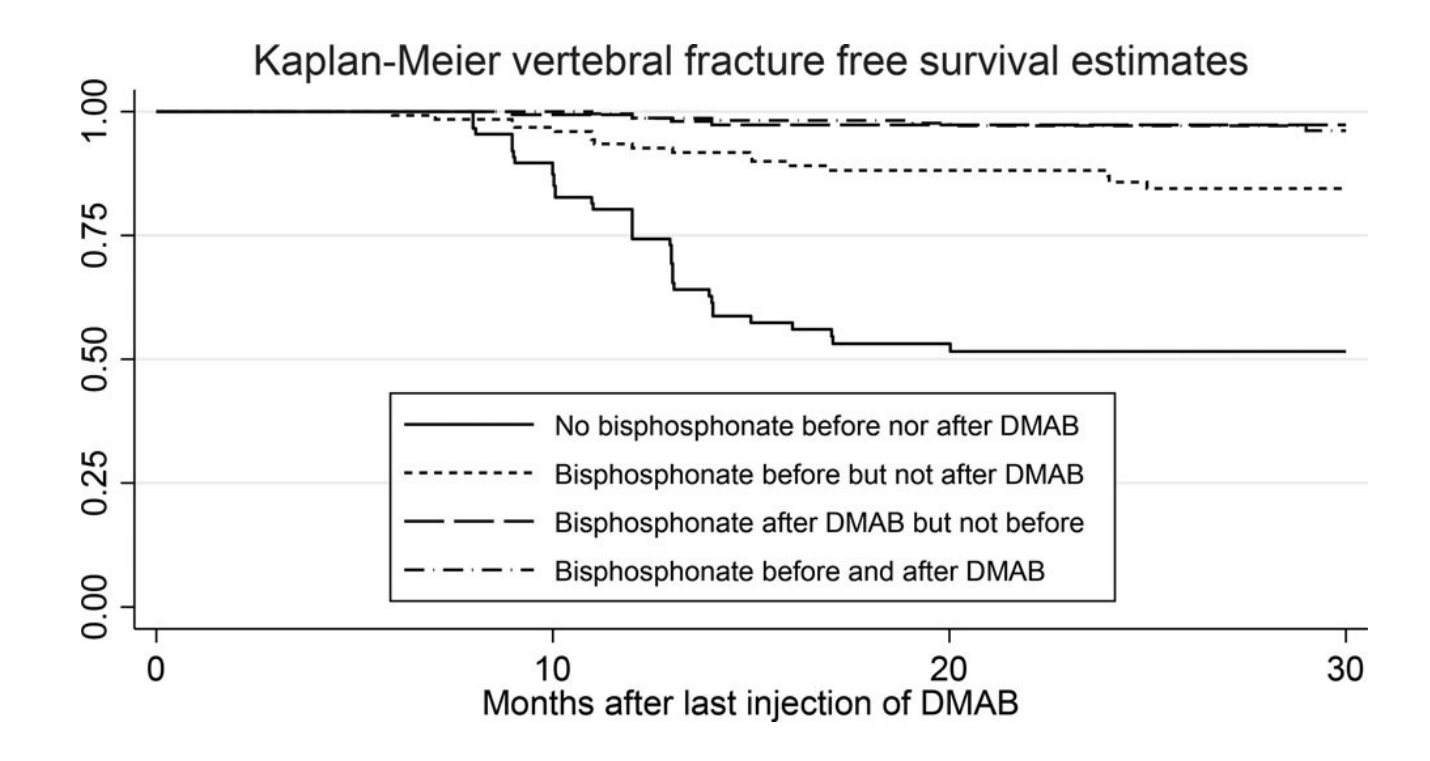
Burckhardt P et al. J Bone Miner Res. 2021;36:1717-1728

Facteurs prédictifs avant traitement	Facteurs prédictifs pdt traitement	Facteurs prédictifs après traitement
Facteurs associés - FV avant Dmab associé au risque de FV et de FV multiples après arrêt Dmab mais pas avec le nb de FV	DMO plus élevée à hanche associé à une diminution du risque de FV, FV m et FNV	Valeurs élevées de marqueurs de résorption osseuse associées au risque de FV, FV multiples, FNV
- Atcd parental de FESF	,	% de perte de DMO à la hanche totale entre la période 2 et 3 associé au risque de FV
Pas de différence - Âge - Alcool, tabac		FV après Dmab associé aux FNV après Dmab
 Comorbidités Nb injections Dmab DMO avt Dmab 		DMO à la hanche et col fémoral plus élevée associée à une diminution du risque de FV et FV m
Marqueurs du remodelage osseux (associé uniquement avec le risque de FV multiples)		

En analyse multivariée

FV avant traitement augmente le risque de FV après arrêt (HR = 2,49)

Augmentation de DMO à la hanche sous Dmab (HR = 0,39) et la prescription de BPs après traitement (HR = 0,14) ont un rôle protecteur



Problèmes non résolus

- Quand faire le relais par BPs? M6, M9, selon marqueurs, selon diminution de DMO?
- Quels taux de marqueurs ? Quelle valeur de diminution de DMO ?
- Prise en compte des paramètres avant Dmab?

ORIGINAL ARTICLE



Treatment With Zoledronate Subsequent to Denosumab in Osteoporosis: A 2-Year Randomized Study

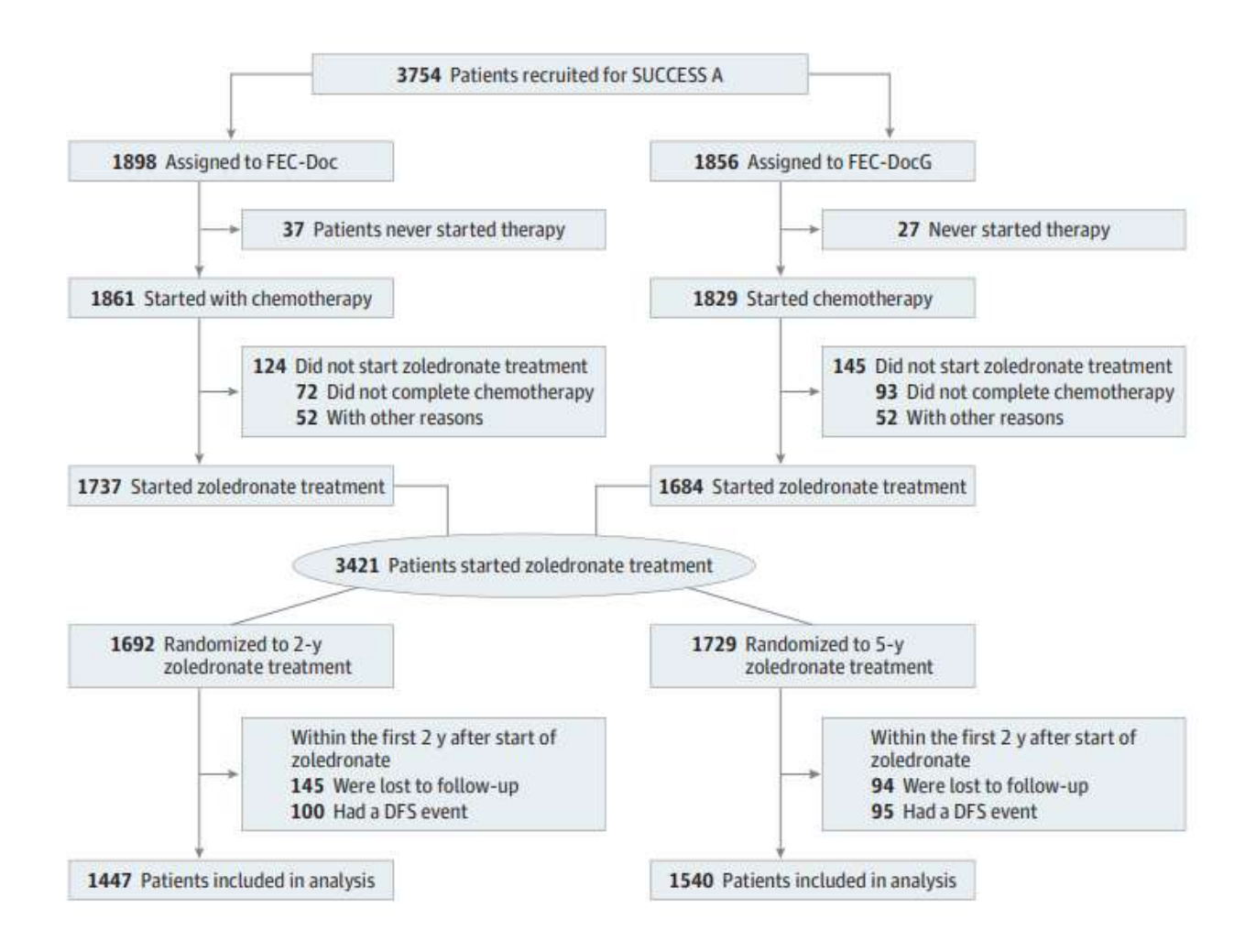
Anne Sophie Sølling, 1,2 Torben Harsløf, 2 and Bente Langdahl 2

JAMA Oncology | Original Investigation

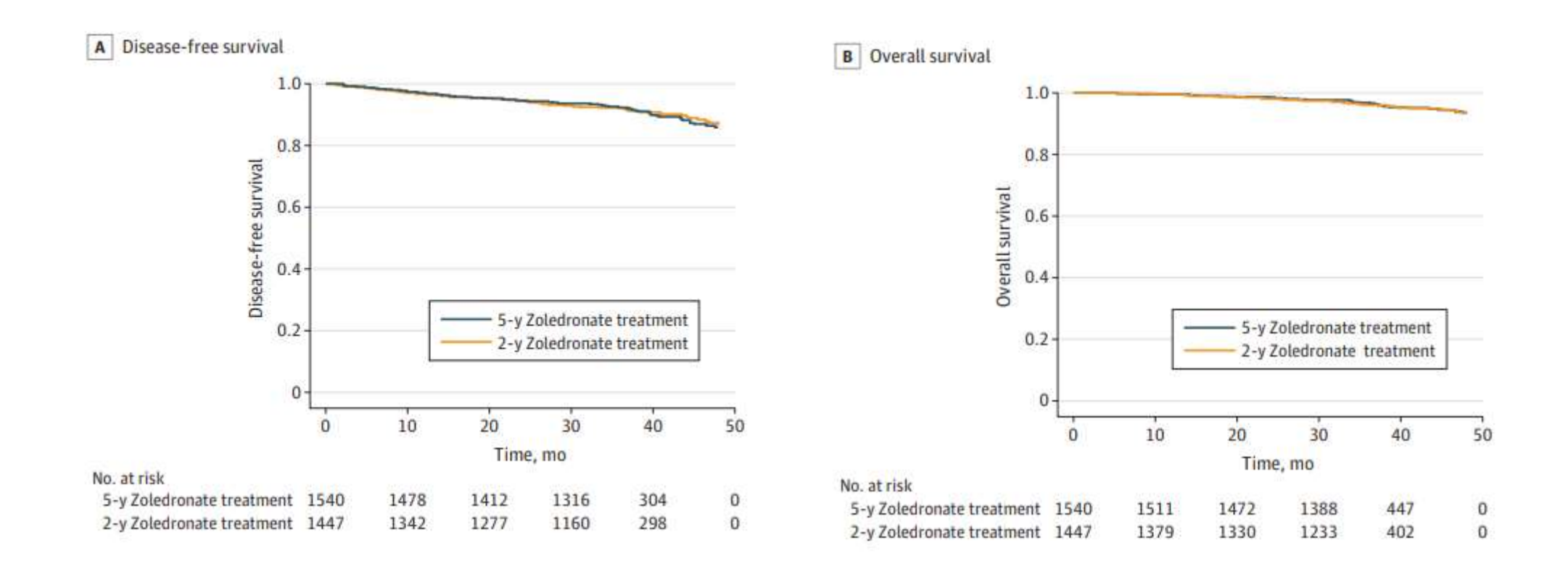
Prognosis of Patients With Early Breast Cancer Receiving 5 Years vs 2 Years of Adjuvant Bisphosphonate Treatment A Phase 3 Randomized Clinical Trial

Objectif : comparer 2 années *versus* 5 années d'acide zolédronique en traitement adjuvant du cancer du sein à haut risque de récidive non métastatique après un traitement adjuvant par chimiothérapie

Protocole acide zolédronique: 4 mg/3mois pendant 2 ans puis 4 mg/6mois pendant 3 ans



Durée médiane de suivi 2 ans après le début du traitement par acide zolédronique : 3 ans 250 rechutes dont 116 morts



Dans cette étude 5 années ne font pas mieux que 2 années de bisphosphonates en traitement adjuvant du cancer du sein (quel que soit le statut ménopausique)

Limites : pas de bras sans BPs, durée de suivi limitée

The Journal of Clinical Endocrinology & Metabolism, 2021, Vol. XX, No. XX, 1–12 https://doi.org/10.1210/clinem/dgab580 Clinical Research Article



Clinical Research Article

Prevalence of Enthesopathies in Adults With X-linked Hypophosphatemia: Analysis of Risk Factors

Julia Herrou,^{1,2} Axelle Salcion Picaud,^{2,3} Louis Lassalle,⁴ Laurence Pacot,⁵ Catherine Chaussain,^{3,6,7} Valérie Merzoug,⁸ Agathe Hervé,⁷ Margaux Gadion,⁷ Anya Rothenbuhler,^{3,9,10} Peter Kamenický,^{3,11} Christian Roux,^{1,2,3} Agnès Linglart,^{3,9,10} Martin Biosse Duplan,^{3,6,7} and Karine Briot^{1,2,3}

Hypophosphatémie liée à l'X : mutation perte de fonction du gène *PHEX*, forme la plus fréquente de rachitisme et ostéomalacie génétiques (✓ FGF23)

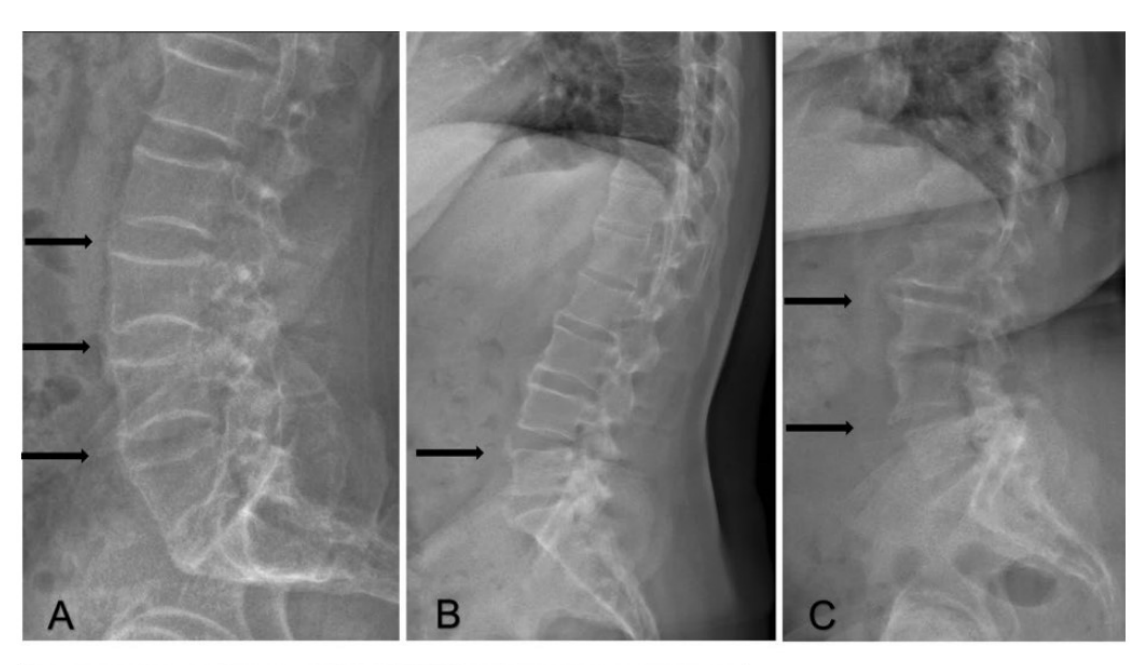
Chez l'enfant : signes de rachitisme, déformations osseuses des membres inférieurs, des douleurs osseuses, un retard de croissance, des abcès dentaires et/ou une craniosténose

Chez l'adulte : grande variabilité du phénotype, douleurs osseuses persistantes, arthrose précoce, fissures et pseudo-fractures, enthésopathies et/ou anomalies parodontales

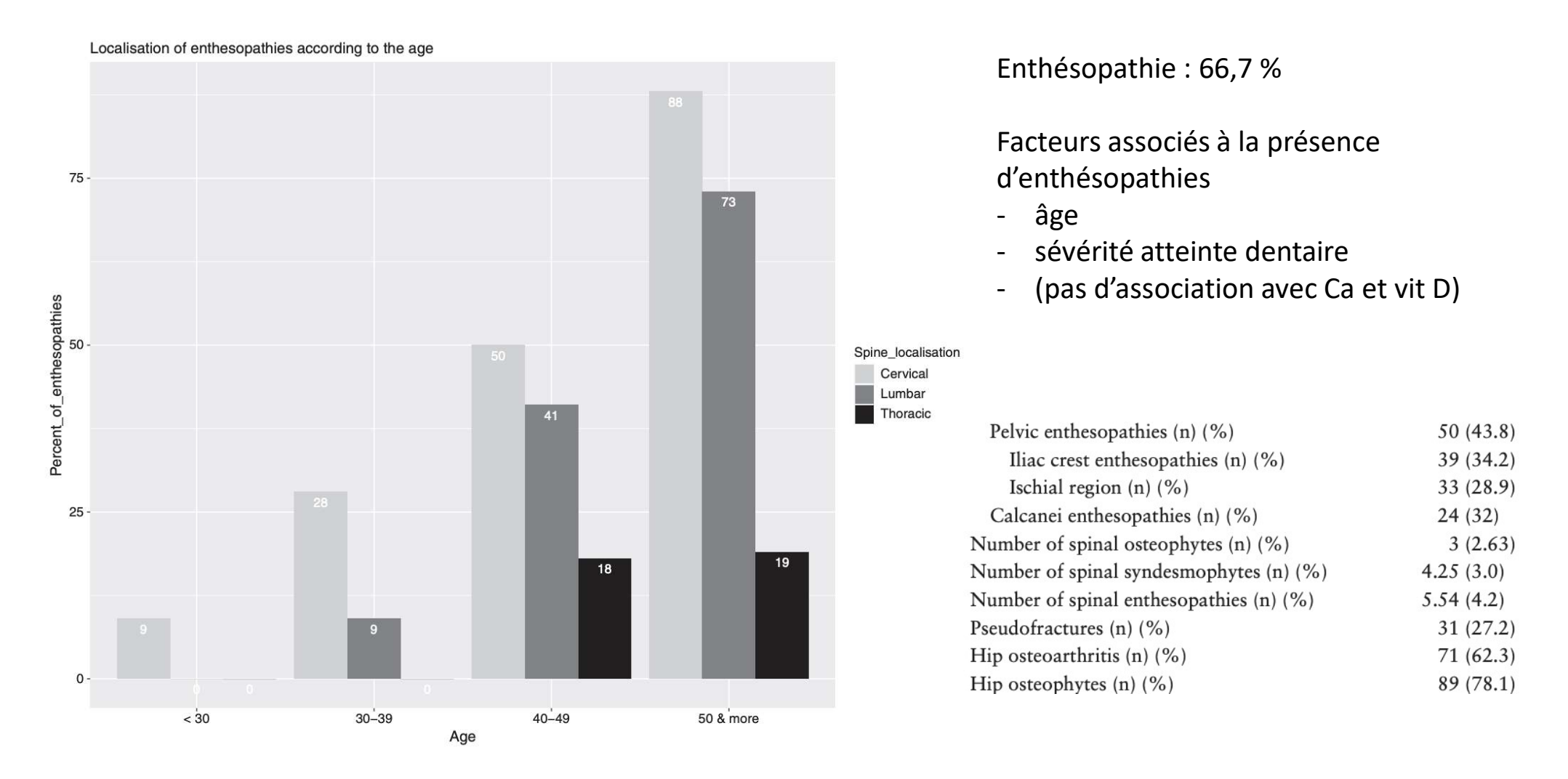
Étude rétrospective
≥ 18 ans
2011-2020
EOS®
Enthésopathie, hyperostose, ostéophyte
Évaluation dentaire

Analyse: 114 patients, 42 ans, 68% femmes Âge du diagnostic 9 ans

Radiological data	
Enthesopathy (n) (%)	76 (66.7)
Syndesmophytes (n) (%)	60 (52.6)
Thin (n) (%)	48 (80)
Bony spur (n) (%)	46 (76)
Osteophytes (n) (%)	35 (30.7)







Parmi les patients avec syndesmophytes, 11% ont une ankylose complète sacro-iliaques (11%) Rôle FGF 23 ?





Quoi de neuf dans les pathologies osseuses ?

SRO Saint-Brieuc septembre 2021

Béatrice BOUVARD





